

ПРИБЛИЖЕННЫЙ МЕТОД РАСЧЕТА ПОГРАНИЧНОГО СЛОЯ
ДВУХТЕМПЕРАТУРНОЙ ПЛАЗМЫ НА ЭЛЕКТРОДАХ
ПРИ БОЛЬШИХ ЗНАЧЕНИЯХ ПАРАМЕТРА ХОЛЛА

Л. Е. Калихман

(Москва)

Процессы, происходящие в пограничном слое плазмы на электродах, описываются сложной системой дифференциальных уравнений с граничными условиями, заданными на двух границах. Решение такого рода краевых задач даже с использованием вычислительных машин представляет большие трудности. Кроме того, желательно иметь метод расчета, который был бы пригоден для сравнительно быстрых оценочных расчетов и для анализа влияния различных суммарных факторов. С этой точки зрения большое значение для теории пограничного слоя плазмы имеет разработка приближенных методов расчета.

В данной статье для решения задачи о пограничном слое двухтемпературной полностью ионизованной плазмы на электродах канала со скрещенными E , B -полями применен метод интегральных соотношений [1]. В своих наиболее существенных чертах разработанный метод основывается на работе [2].

Постановка задачи. Требуется найти решение системы уравнений непрерывности

$$\frac{\partial}{\partial x}(nu) + \frac{\partial}{\partial y}(nv) = 0 \quad (1)$$

движения

$$mn \left(u \frac{\partial u}{\partial x} + v \frac{\partial u}{\partial y} \right) = - \frac{\partial p}{\partial x} + \frac{\partial}{\partial y} \left(\eta_i \frac{\partial u}{\partial y} \right) + j_y B \quad (2)$$

энергии ионов

$$mnc_p \left(u \frac{\partial T_i}{\partial x} + v \frac{\partial T_i}{\partial y} \right) = \frac{\partial}{\partial y} \left(\lambda_i \frac{\partial T_i}{\partial y} \right) + u \frac{\partial p_i}{\partial x} + v \frac{\partial p_i}{\partial y} + \eta_i \left(\frac{\partial u}{\partial y} \right)^2 + \frac{3km_e}{m} \frac{n}{\tau_e} (T_e - T_i) \quad (3)$$

энергии электронов

$$mnc_p \left(u \frac{\partial T_e}{\partial x} + v \frac{\partial T_e}{\partial y} \right) = \frac{\partial}{\partial y} \left(\lambda_e \frac{\partial T_e}{\partial y} + \frac{5}{2} \frac{j_y^q}{e} kT_e \right) + u \frac{\partial p_e}{\partial x} + v \frac{\partial p_e}{\partial y} + j_x E_x + j_y (E_y - uB) + \eta_e \left(\frac{\partial u}{\partial y} \right)^2 - \frac{3km_e}{m} \frac{n}{\tau_e} (T_e - T_i) \quad (4)$$

с граничными условиями

$$\begin{aligned} u(x, 0) &= v(x, 0) = 0, T_i(x, 0) = T_{iw}, T_e(x, 0) = T_{ew} \\ u(x, \infty) &= U_s(x), T_i(x, \infty) = T_{is}(x), T_e(x, \infty) = T_{es}(x) \\ j_y(x, \infty) &= j_{ys}(x), E_x(x, \infty) = E_{xs}(x), j_x(x, \infty) = 0 \end{aligned}$$

Как показано в [3], функции p , j_y , E_x постоянны попереk пограничного слоя¹.

¹ В правой части уравнения (23) работы [3] должен быть член $-j_y uB$. В выражениях (8) для π_{xx}^e , π_{xy}^e , π_{yy}^e в [3] имеется опечатка. Численный множитель при третьих членах правой части равен $10/[3(2 + \sqrt{2})]$.

Плотности тока даются выражениями

$$j_x = \sigma \left\{ E_x - \frac{A_2}{A_1} \left(E_y - uB + \frac{1}{en} \frac{\partial p_e}{\partial y} \right) - \frac{k}{e} \frac{A_1}{A_1} \frac{\partial T_e}{\partial y} \right\} \quad (5)$$

$$j_y = \sigma \left\{ E_y - uB + \frac{1}{en} \frac{\partial p_e}{\partial y} + \frac{A_2}{A_1} E_x + \frac{k}{e} \frac{A_3}{A_1} \frac{\partial T_e}{\partial y} \right\} \quad (6)$$

$$j_y^a = \sigma \left\{ \frac{A_7}{A_1} \left(E_y - uB + \frac{1}{en} \frac{\partial p_e}{\partial y} \right) + \frac{A_8}{A_1} E_x \right\} \quad (7)$$

Свойства переноса плазмы поперек магнитного поля η_i , η_e , λ_i , λ_e , σ и коэффициенты A_k будут известными функциями от T_i , T_e , n и параметров Холла H_i , H_e [3].

Представим профиль среднемассовой скорости плазмы многочленом

$$u^\circ = a_1 \xi + a_2 \xi^2 + a_3 \xi^3 + a_4 \xi^4 \quad (8)$$

$$\left(\xi = \frac{1}{\delta} \int_0^y n^\circ dy, \delta = \int_0^y n^\circ dy, u^\circ = \frac{u}{U_s}, n^\circ = \frac{n}{n_s} \right)$$

Здесь $\delta_y = \delta_y(x)$ — толщина динамического пограничного слоя.

Условие на внутренней границе пограничного слоя следует из уравнения движения (2), которое при $y = 0$ дает

$$-\left[\frac{\partial p}{\partial x} + \left[\frac{\partial}{\partial y} \left(\eta_i \frac{\partial u}{\partial y} \right) \right]_w \right] + j_y B = 0 \quad (9)$$

Если применить уравнение движения вблизи внешней границы слоя, получим

$$mn_s U_s \frac{dU_s}{dx} = - \frac{dp}{dx} + j_y B \quad (10)$$

Следовательно

$$\left[\frac{\partial}{\partial y} \left(\eta_i \frac{\partial u}{\partial y} \right) \right]_w = - mn_s U_s U_s' \quad (11)$$

Переходя от переменной y к переменной ξ согласно (8) и полагая для упрощения произведение $\eta_i \rho$ постоянным поперек пограничного слоя

$$\frac{\eta_i \rho}{\eta_{is} \rho_s} = K_i \quad (\rho = mn)$$

получим

$$\frac{\partial^2 u^\circ}{\partial \xi^2} = - \lambda \quad \left(\lambda = \frac{\delta m n_s^2 U_s'}{n_w \eta_{is} K_i} \right) \quad (12)$$

На внешней границе пограничного слоя $\xi = 1$ примем условия

$$u^\circ = 1, \quad \frac{\partial u^\circ}{\partial \xi} = 0, \quad \frac{\partial^2 u^\circ}{\partial \xi^2} = 0 \quad (13)$$

Из условий (12), (13) найдем

$$a_1 = \frac{12 + \lambda}{6}, \quad a_2 = 6 - 3a_1, \quad a_3 = -8 + 3a_1, \quad a_4 = 3 - a_1$$

Введем понятие температуры торможения и перепада температуры торможения ионов

$$T_i^* = T_i + \frac{u^2}{2c_p}, \quad T_{is}^* = T_{is} + \frac{u_\Delta^2}{2c_p} \quad t_i^* = T_i^* - T_{iw}, \quad t_{is}^* = T_{is}^* - T_{iw}$$

Представим профиль перепадов температур торможения ионов многочленом

$$\begin{aligned} t_i^{*o} &= b_1^i \zeta + b_2^i \zeta^2 + b_3^i \zeta^3 \\ (\zeta &= \frac{1}{\Delta} \int_0^y n^o dy, \quad \Delta = \int_0^{\Delta_y} n^o dy, \quad t_i^{*o} = \frac{t_i^*}{t_{is}^*}) \end{aligned} \quad (14)$$

Здесь $\Delta_y = \Delta_y(x)$ — толщина теплового пограничного слоя. Условие на внутренней границе слоя для определения коэффициентов многочлена t_i^{*o} выведем из уравнения (3), которое при $y = 0$ дает

$$\left[\frac{\partial}{\partial y} \left(\lambda_i \frac{\partial T_i}{\partial y} \right) \right]_w + \eta_{iw} \left(\frac{\partial u}{\partial y} \right)_w^2 + 3k \frac{m_e}{m} \frac{n_w}{\tau_{ew}} (T_{ew} - T_{iw}) = 0$$

Обозначая число Прандтля ионов

$$P_i = \frac{\eta_i c_p}{\lambda_i} = \text{const}$$

используя (8), найдем

$$b_2^i = -1/2 \chi_i$$

Здесь параметр χ_i , определяющий форму профиля перепадов температур торможения ионов, в безразмерном виде будет

$$\begin{aligned} \chi_i &= P_i \frac{T_w}{T_s} \frac{\Delta^{*o} (\kappa - 1) M^2}{K_i t_{is}^{*o}} \left[\left(\frac{\eta_{iw}}{\eta_{is}} - \frac{T_w}{T_s} \frac{K_i}{P_i} \right) a_1^2 \frac{U_s^{*o}}{\delta^{*o}} \left(\frac{T_s}{T_w} \right)^2 + \right. \\ &\quad \left. + \frac{3}{\kappa} \frac{m_e}{m} \frac{R_i}{M^2} \frac{n_s^o}{\eta_{is}^o} \frac{L}{U_{so} \tau_{ew}} (T_{ew} - T_{iw}^0) \frac{T_s}{T_w} \right] \\ (a^o &= \delta / L, \quad \Delta^o = \Delta / L, \quad \eta_{is}^o = \eta_{is} / \eta_{iso}, \quad n_s^o = n_s / n_{s0}, \quad U_s^o = U_s / U_{s0}, \\ R_i &= \frac{U_{so} m n_{e0} L}{\eta_{is0}}, \\ t_{is}^{*o} &= t_{is}^* / T_{s0}, \quad T_{ew}^o = T_{ew} / T_{s0}, \quad T_{iw}^o = T_{iw} / T_{s0}, \quad M = U_{s0} \left(\frac{\kappa k}{m} T_{s0} \right)^{-1/2} \end{aligned}$$

На внешней границе теплового слоя ($\zeta = 1$) примем

$$t_i^{*o} = 1, \quad \frac{\partial t_i^{*o}}{\partial \zeta} = 0$$

Это дает следующие значения коэффициентов:

$$b_1^i = 1/4 (6 + \chi_i), \quad b_3^i = 1/4 (\chi_i - 2) \quad (15)$$

Профиль перепадов температур электронов представим в виде

$$t_e^o = b_1^e \zeta + b_2^e \zeta^2 + b_3^e \zeta^3 \quad \left(t_e^o = \frac{t_e}{t_{es}} = \frac{T_e - T_{ew}}{T_{es} - T_{ew}} \right) \quad (16)$$

Условие на стенке получим из уравнения (4)

$$\begin{aligned} \left[\frac{\partial}{\partial y} \left(\lambda_e \frac{\partial T_e}{\partial y} \right) \right]_w + \left[\frac{\partial}{\partial y} \left(\frac{5}{2} \frac{j_y^q}{e} k T_e \right) \right]_w + \eta_{ew} \left(\frac{\partial u}{\partial y} \right)_w^2 + j_{xw} E_{xw} + \\ + j_{yw} E_{yw} - 3k \frac{m_e}{m} \frac{n_w}{\tau_{ew}} (T_{ew} - T_{iw}) = 0 \end{aligned}$$

При преобразовании этого условия учтем выражение для j_x , вытекающее из соотношений (5), (6)

$$j_x = \sigma \left(1 + \frac{A_2^2}{A_1^2} \right) E_x - \frac{A_2}{A_1} j_y + \sigma \frac{k}{e} \left(\frac{A_2 A_3}{A_1^2} - \frac{A_4}{A_1} \right) \frac{\partial T_e}{\partial y}$$

и примем

$$P_e = \frac{\eta_e c_p}{\lambda_e} = \text{const}, \quad \frac{\eta_e \rho}{\eta_{es} \rho_s} = K_e$$

На внешней границе теплового слоя потребуем выполнения условий

$$t_e^\circ = 1, \quad \frac{\partial t_e^\circ}{\partial \zeta} = 0$$

Получаем

$$b_1^e = \frac{3 + 0.5\chi_e}{2 - a}, \quad b_2^e = \frac{-3a - \chi_e}{2 - a}, \quad b_3^e = \frac{2a + 0.5\chi_e - 1}{2 - a} \quad (17)$$

Параметры χ_e и a , определяющие форму профиля перепадов температур электронов, в безразмерной форме будут

$$\begin{aligned} \chi_e &= P_e \frac{T_w}{T_s} \frac{\Delta^\circ R_e}{\eta_{es}^\circ K_e t_{es}^\circ} \left\{ (\kappa - 1) M^2 \frac{1}{R_e} \frac{\eta_{ew}}{\eta_{eso}} \left(\frac{T_s}{T_w} \right)^2 \frac{U_s^\circ}{\delta^\circ} a_1^2 + \right. \\ &\quad + \frac{\kappa - 1}{\kappa} \frac{M^j}{M} \left[\sigma_w^\circ \left(1 + \frac{A_{2w}^2}{A_{1w}^2} \right) \Phi - 2 \frac{A_{2w}}{A_{1w}} \Phi + \frac{1}{\sigma_w^\circ} \Phi + \right. \\ &\quad \left. \left. + \frac{T_{ew}}{T_w} \frac{t_{is}^\circ}{\Delta^\circ} \frac{T_s}{T_w} \right] - 3 \frac{\kappa - 1}{\kappa} \frac{m_e}{m} \frac{T_s}{T_w} \frac{\eta_s^\circ}{\tau_{ew} U_{so}} (T_{ew}^\circ - T_{iw}^\circ) \right\}, \\ a &= \frac{\kappa - 1}{\kappa} \frac{M^j}{M} \frac{R_e P_e \Delta^\circ}{2 K_e} \left[\frac{5}{2} \frac{j_y^q}{j_y} + \frac{T_{ew}}{T_w} - 1 - \frac{A_{3w}}{A_{1w}} + \sigma_w^\circ \left(\frac{A_{2w} A_{3w}}{A_{1w}^2} - \frac{A_{4w}}{A_{1w}} \right) \right]. \end{aligned}$$

Параметры K_i и K_e приближенно пропорциональны отношениям $(T_i / T_{is})^{3/2}$, $(T_e / T_{es})^{3/2}$, поэтому предлагаемый приближенный метод расчета будет обладать достаточной точностью при несильном изменении T_e и T_i поперек пограничного слоя.

При приведении параметров χ_e и a к безразмерному виду предполагается, что поперечный ток j_y равномерно распределен и осевой ток вне пограничного слоя запрещен, поэтому за масштаб тока j_{ys} и напряженности электрического поля E_{xs} взяты величины, связанные между собой соотношением

$$j_{ys} = \sigma_{00} E_{xs}, \quad \sigma_{00} = \sigma_s \frac{1 + A_{2s}^2 / A_{1s}^2}{A_{2s} / A_{1s}}$$

Здесь

$$\begin{aligned} M^j &= \frac{j_y}{e \eta_{s0} \sqrt{\kappa T_{s0} k/m}}, \quad \Phi = \frac{e E_{xs} L}{k T_{s0}}, \quad R_e = \frac{U_{s0} L m n_{s0}}{\eta_{eso}}, \\ \sigma_w^\circ &= \frac{\sigma_w}{\sigma_{00}}, \quad t_{es}^\circ = \frac{t_{es}}{T_{s0}}, \quad \eta_{es}^\circ = \frac{\eta_{es}}{\eta_{eso}} \end{aligned}$$

и учитывается, что

$$j_y = j_{ys}, \quad E_x = E_{xs}$$

Входящее в χ_e выражение j_y^q / j_y будет

$$j_y^q = \frac{j_y^q}{j_y} = \frac{A_{1w}}{A_{1w}} \left(1 - \frac{A_{2w}}{A_{1w}} \sigma_w^\circ - \frac{A_{3w}}{A_{1w}} \sigma_w^\circ \frac{t_{es}^\circ}{\Delta^\circ} b_1 e^{\frac{t_{es}^\circ}{T_w} \frac{1}{\Phi}} \right) + \frac{A_{8w}}{A_{1w}} \sigma_w^\circ$$

Имея профили перепадов температур ионов и электронов, можем записать профиль перепадов температур торможения плазмы в пограничном слое в виде

$$t^{*o} = b_1 \zeta + b_2 \zeta^2 + b_3 \zeta^3 \quad (18)$$

где

$$\begin{aligned} t^{*\circ} &= \frac{t_s^*}{t_s^{*\circ}}, \quad t^* = T^* - T_w, \quad t_s^* = T_s^* - T_w, \\ T^* &= T + \frac{u^2}{2c_p}, \quad T_s^* = T_s + \frac{u_\Delta^2}{2c_p} \\ b_1 &= b_1 e \frac{t_{es}}{t_s^{*\circ}} + b_1 i \frac{t_{is}^*}{t_s^{*\circ}}, \quad b_2 = b_2 e \frac{t_{es}}{t_s^*} + b_2 i \frac{t_{is}^*}{t_s^*}, \quad b_3 = b_3 e \frac{t_{es}}{t_s^*} + b_3 i \frac{t_{is}^*}{t_s^*} \end{aligned} \quad (19)$$

Интегрируя уравнение движения поперек слоя, с учетом (10) приведем его к обыкновенному

$$\begin{aligned} (\rho_s U_s^2)' \vartheta + \rho_s U_s^2 \vartheta' + \rho_s U_s U_s' \left[\delta^* - \Delta^* \left(1 + \frac{u_\Delta^2}{2c_p T_s} - \frac{T_w}{T_s} \right) + \right. \\ \left. + \frac{u_\Delta^2}{2c_p T_s} (\delta^* + \vartheta) \right] = \tau_{iw} \end{aligned} \quad (20)$$

Здесь

$$\begin{aligned} \vartheta &= \int_0^\infty \rho^o u^o (1 - u^o) dy = \delta \int_0^\infty u^o (1 - u^o) d\xi \\ \delta^* &= \int_0^\infty \rho^o (1 - u^o) dy = \delta \int_0^\infty (1 - u^o) d\xi \\ \Delta^* &= \int_0^\infty \rho^o (1 - t^{*\circ}) dy = \Delta \int_0^\infty (1 - t^{*\circ}) d\xi \\ \tau_{iw} &= \eta_{iw} \left(\frac{\partial u}{\partial y} \right)_w = \eta_{iw} a_1 \frac{U_s}{\delta} \frac{T_s}{T_w} \end{aligned}$$

Складывая уравнения (3), (4), получаем уравнение энергии для плазмы в целом

$$\begin{aligned} \rho c_p \left(u \frac{\partial T}{\partial x} + v \frac{\partial T}{\partial y} \right) &= \frac{\partial}{\partial y} \left(\lambda_i \frac{\partial T_i}{\partial y} \right) + \frac{\partial}{\partial y} \left(\lambda_e \frac{\partial T_e}{\partial y} + \frac{5}{2} \frac{j_y^q}{e} k T_e \right) + \\ &+ u \frac{\partial p}{\partial x} + \eta_i \left(\frac{\partial u}{\partial y} \right)^2 + j_x E_x + j_y (E_y - u B) \end{aligned} \quad (21)$$

Складывая это уравнение с уравнением движения (2), умноженным на u , получаем

$$\begin{aligned} \rho c_p \left(u \frac{\partial T^*}{\partial x} + v \frac{\partial T^*}{\partial y} \right) &= \frac{\partial}{\partial y} \left(\lambda_i \frac{\partial T_i}{\partial y} \right) + \frac{\partial}{\partial y} \left(\lambda_e \frac{\partial T_e}{\partial y} + \frac{5}{2} \frac{j_y^q}{e} k T_e \right) + \\ &+ \frac{\partial}{\partial y} (\tau_i u) + j_x E_x + j_y E_y \end{aligned} \quad (22)$$

Интегрируя (22) поперек слоя в предположении $T_w = \text{const}$, приведем его к виду

$$\begin{aligned} (\rho_s^2 U_s^2 t_s^{*\circ 2} \theta^2)' &= 2\rho_s U_s t_s^* \left\{ \rho_s U_s t_s^* (\delta - \delta^*) \theta + \frac{\lambda_{iw}}{c_p} b_1 i t_{is}^* \frac{T_s}{T_w} \frac{\theta}{\Delta} + \right. \\ &+ \left. \frac{\lambda_{ew}}{c_p} b_1 e t_{es} \frac{T_s}{T_w} \frac{\theta}{\Delta} - \frac{5}{2} \frac{k}{e c_p} (j_{ys}^q T_{es} - j_{yw}^q T_{ew}) \theta - \frac{1}{c_p} \theta \int_0^{\Delta y} (j_x E_x + j_y E_y) dy \right\} \end{aligned} \quad (23)$$

где

$$\theta = \int_0^\infty \rho^o u^o (1 - t^{*\circ}) dy = \Delta \int_0^\infty u^o (1 - t^{*\circ}) d\xi$$

толщина потери энергии.

Среднюю по слою джоулеву диссипацию вычислим при помощи выражений (5), (6), а также используя (18) для профиля температур и принимая для упрощения

$$\sigma \approx \sigma_w, H_e \approx H_{ew}, T_e \approx T_{ew}, u/U_s = \xi$$

Тогда уравнение (23) после приведения к безразмерному виду будет

$$(\rho_s^{o2} U_s^{o2} t_s^{*o2} \theta^{o2})' = 2\Phi_\Delta \rho_s^o U_s^o t_s^{*o} \quad (24)$$

где

$$\begin{aligned} \Phi_\Delta = & t_s^{*o} \rho_s^o U_s^o \theta^o (\delta^o - \delta^{*o}) + \left(\frac{1}{R_i P_i} \frac{\lambda_{is}}{\lambda_{iso}} \frac{\lambda_{iw}}{\lambda_{is}} b_1 t_{is}^{*o} + \right. \\ & + \frac{1}{R_e P_e} \frac{\lambda_{es}}{\lambda_{eso}} \frac{\lambda_{ew}}{\lambda_{es}} b_1 t_{es}^{*o} \left. \right) \frac{T_s}{T_w} \frac{\theta}{\Delta} - (j_{ys}^{qo} T_{es}^o - j_{yw}^{qo} T_{ew}^o) \frac{M^j}{M} \theta^o - \\ & - \theta^o \Delta^o \left[\sigma_w^o \left(1 + \frac{A_{2w}^2}{A_{1w}^2} \right) - 2 \frac{A_{2w}}{A_{1w}} + \frac{1}{\sigma_w^o} \right] \left\{ 1 + \frac{\kappa-1}{2} M^2 \frac{U_s^{o2}}{T_s^o} \left[u_\Delta^{o2} - \right. \right. \\ & - \frac{1}{3} \left(\frac{\Delta}{\delta} \right)^2 \left. \right] - \left(1 + \frac{\kappa-1}{2} M^2 u_\Delta^{o2} \frac{U_s^{o2}}{T_w^o} - \frac{T_w}{T_s} \right) \frac{\Delta^*}{\Delta} \left. \right\} \frac{\kappa-1}{\kappa} \frac{M^j}{M} \Phi + \\ & + \theta^o (T_{es}^o - T_{ew}^o) \frac{\kappa-1}{\kappa} \frac{M^j}{M} \left[\sigma_w^o \left(\frac{A_{4w}}{A_{1w}} - \frac{A_{2w} A_{3w}}{A_{1w}^2} \right) + \frac{A_{3w}}{A_{1w}} + 1 \right] - \\ & - \theta^o \Delta^o \frac{U_s^o}{K} \frac{\kappa-1}{\kappa} \frac{M^j}{M} \Phi \left\{ \frac{1}{2} \frac{\Delta}{\delta} + \frac{\kappa-1}{2} M^2 \frac{U_s^{o2}}{T_w^o} \left[\frac{u_\Delta^{o2}}{2} \frac{\Delta}{\delta} - \frac{1}{4} \left(\frac{\Delta}{\delta} \right)^3 \right] - \right. \\ & \left. - \left(1 + \frac{\kappa-1}{2} M^2 u_\Delta^{o2} \frac{U_s^{o2}}{T_w^o} - \frac{T_w}{T_s} \right) \frac{\theta}{\Delta} \right\} - \theta \frac{\kappa-1}{\kappa} \frac{M^j}{M} \left(\ln \frac{T_s}{T_w} \right) T_{ew}^o \end{aligned}$$

Здесь

$$\begin{aligned} t_s^{*o} = & \frac{T_s}{T_{s0}} + \frac{\kappa-1}{2} M^2 U_s^{o2} \left(\frac{u_\Delta}{U_s} \right)^2 - \frac{T_w}{T_{s0}}, \quad u_\Delta^o = \frac{u_\Delta}{U_s}, \quad t_{is}^{*o} = \frac{T_{is}}{T_{s0}} + \\ & + \frac{\kappa-1}{2} M^2 U_s^{o2} \left(\frac{u_\Delta}{U_s} \right)^2 - \frac{T_{iw}}{T_{s0}}, \quad K = \frac{E_{xs}}{B U_{s0}} \\ u_\Delta^o = & a_1 \frac{\Delta}{\delta} + a_2 \left(\frac{\Delta}{\delta} \right)^2 + a_3 \left(\frac{\Delta}{\delta} \right)^3 + a_4 \left(\frac{\Delta}{\delta} \right)^4, \quad ' = \frac{d}{dx}, \quad x^o = \frac{x}{L} \end{aligned}$$

Используя профили (8) и (18) для вычисления интегральных толщин пограничного слоя, находим

$$\begin{aligned} \delta^* = & \delta H = \delta \frac{8-a_1}{20}, \quad \Phi = \delta \frac{-5a_1^2 + 12a_1 + 144}{1260} \\ \Delta^* = & \Delta (1 - \frac{1}{2} b_1 - \frac{1}{3} b_2 - \frac{1}{6} b_3) \\ \theta = & \Delta \left\{ a_1 \frac{\Delta}{\delta} \left(\frac{1}{2} - \frac{1}{3} b_1 - \frac{1}{4} b_2 - \frac{1}{5} b_3 \right) + \right. \\ & + a_2 \left(\frac{\Delta}{\delta} \right)^2 \left(\frac{1}{3} - \frac{1}{4} b_1 - \frac{1}{5} b_2 - \frac{1}{6} b_3 \right) + a_3 (\Delta/\delta)^3 \left(\frac{1}{4} - \frac{1}{5} b_1 - \frac{1}{6} b_2 - \frac{1}{7} b_3 \right) + \\ & \left. + a_4 (\Delta/\delta)^4 \left(\frac{1}{5} - \frac{1}{6} b_1 - \frac{1}{7} b_2 - \frac{1}{8} b_3 \right) \right\} \quad (25) \end{aligned}$$

Следуя работе [2], приведем интегральное соотношение импульсов (20) к форме квадратуры, удобной для практических расчетов. Представим (20) в виде

$$\begin{aligned} & 2\theta^o \vartheta^{o'} + c_1 \frac{U_s^{o'}}{U_s^o} \vartheta^{o2} + 2 \frac{U_s^{o'}}{U_s^o} \left(\frac{T_w}{T_s} - 1 \right) \frac{\Delta^*}{\theta} \vartheta^{o2} + \\ & + 2 \frac{U_s^{o'}}{U_s^o} \frac{\kappa-1}{2} M^2 u_\Delta^{o2} \frac{U_s^{o2}}{T_s^o} \left(H + 4 - \frac{\Delta^*}{\theta} \right) \vartheta^{o2} + 2 \frac{U_s^{o'}}{\rho_s^o} \vartheta^{o2} = \\ & = 2a_1 \frac{\eta_{iw}}{\eta_{iso}} \frac{1}{\rho_s^o U_s^o R_i} \frac{T_s}{T_w} \frac{\theta}{\delta} - \frac{U_s^{o'}}{U_s^o} \vartheta^{o2} [2(H+2) - c_1] \quad (26) \end{aligned}$$

где c_1 — постоянная, которая определяется ниже. Положим

$$c = c_1 + 2 \left(\frac{T_w}{T_s} - 1 \right) \frac{\Delta^*}{\delta} \approx \text{const}, \quad k = (\kappa - 1) M^2 \frac{1}{T_s^\circ} \left(H + 1 - \frac{\Delta^*}{\delta} \right) u_\Delta^\circ \approx \text{const}$$

и обозначим

$$\Phi = 2a_1 \frac{\delta}{\delta} - \lambda \left(\frac{\delta}{\delta} \right)^2 K_i \frac{\eta_{is}}{\eta_{iw}} [2(H + 2) - c_1] \quad (27)$$

Умножая (26) на U° , напишем его в виде линейного уравнения

$$(\delta^\circ U_s^\circ)' + \left(k U_s^\circ U_s'' + 2 \frac{\rho_s''}{\rho_s^\circ} \right) \delta^\circ U_s^\circ = U_s^\circ (c-1) \frac{T_s}{T_w} \frac{1}{R_i} \Phi \frac{\eta_{iw}^\circ}{\rho_s^\circ}$$

Решение имеет вид

$$\delta^\circ U_s^\circ R_i = e^{-\frac{k U_s^\circ}{2}} \rho_s^\circ (-2) \left(\text{const} + \int_{x_0^\circ}^{x^\circ} U_s^\circ (c-1) \rho_w^\circ \eta_{iw}^\circ e^{\frac{k U_s^\circ}{2}} \Phi dx^\circ \right) \quad (28)$$

Расчет Φ_0 по уравнению (28) нужно вести последовательными приближениями. Быстрая сходимость обеспечивается при таком выборе c_1 , при котором функция Φ слабо меняется с изменением λ .

Зависимость Φ от λ согласно (27) близка к линейной; потребовав, чтобы коэффициент при λ был равен нулю, получаем соотношение для выбора c_1

$$c_1 = 2(H + 2)_{\lambda=0} - \frac{1}{3(\delta/\delta)_{\lambda=0}} \frac{\eta_{iw}}{\eta_{is}} \frac{1}{K_i}$$

При $\Phi \approx \text{const}$ расчетное уравнение (28) оказывается простой квадратурой.

Решение интегрального соотношения (24) вследствие переменности Φ_Δ целесообразно представить в форме

$$(\rho_s^\circ U_s^\circ t_s^{*\circ} \theta^\circ)_x_k^\circ = 2(\Phi_\Delta)_{x^\circ=0} \int_0^{x_k^\circ} \rho_s^\circ U_s^\circ t_s^{*\circ} dx^\circ + \\ + 2(\Phi_\Delta)_{x_1^\circ} \int_{x_1^\circ}^{x_k^\circ} \rho_s^\circ U_s^\circ t_s^{*\circ} dx^\circ + \dots + 2(\Phi_\Delta)_{x_k^\circ} \int_{x_k^\circ}^{x_{k+1}^\circ} \rho_s^\circ U_s^\circ t_s^{*\circ} dx^\circ + \dots \quad (29)$$

На каждом участке пограничного слоя от x_k° до x_{k+1}° величину Φ_Δ следует считать постоянной и определять ее по величинам для начала участка.

Расчет начинают с определения величин на входе в канал, т. е. в начале первого участка. Если здесь $U_s^\circ \neq 0$ (нет критической точки) и если отсутствуют дополнительные данные о начальных толщинах, то можно принять

$$\delta = \Delta = \delta^* = \hat{\delta} = \Delta^* = \theta = 0 \quad \text{при } x^\circ = x_0 = 0$$

Для получения начального условия при $x^\circ = 0$ необходимо раскрыть неопределенность и найти начальное значение Δ / δ , θ / Δ и других отношений.

Из (20) при $x = 0$ получаем

$$\frac{d}{dx^\circ} (\rho_s^\circ U_s^\circ \theta^\circ)^2 = 2\rho_s^\circ U_s^\circ \frac{T_s}{T_w} a_1 \frac{\delta}{\delta} \frac{\eta_{iw}}{\eta_{is0}} \frac{1}{R_i}$$

Из (24) при $x = 0$

$$\frac{d}{dx^\circ} (\rho_s^\circ U_s^\circ t_s^{*\circ} \theta^\circ)^2 = 2\rho_s^\circ U_s^\circ t_s^{*\circ} \left[\frac{1}{R_i P_i} \frac{\lambda_{iw}}{\lambda_{is0}} b_1^i t_{is}^{*\circ} + \frac{1}{R_e P_e} \frac{\lambda_{ew}}{\lambda_{es0}} b_1^e t_{es}^\circ \right] \frac{T_s}{T_w} \frac{\theta}{\Delta}$$

По правилу Лопитала получаем

$$\left(\frac{\theta}{\Delta} \right) \left(\frac{\Delta}{\delta} \right)^2 = \left(\frac{\theta}{\delta} \right) \left[\frac{1}{R_i P_i} \frac{\lambda_{iw}}{\lambda_{is0}} b_1^i t_{is}^{*\circ} + \frac{1}{R_e P_e} \frac{\lambda_{ew}}{\lambda_{es0}} b_1^e t_{es}^\circ \right] \left(2 \frac{\eta_{iw}}{\eta_{is0}} \frac{1}{R_i} t_s^{*\circ} \right)^{-1}$$

Это уравнение в сочетании с (25), (19), (15), (17), (27) и служит для численного расчета начального значения Δ / δ .

По результатам расчета распределения $\delta = \delta(x)$ и $\Delta = \Delta(x)$ находим трение и теплообмен. Коэффициент трения ионов будет

$$c_{j_1} \sqrt{R_i} = \frac{2\tau_{iw}}{mn_{s0} U_{s0}^2} - 2a_1 \frac{\eta_{iw}}{\eta_{is0}} \frac{T_s}{T_w} \frac{U_s^\circ}{\delta^\circ}$$

Число Стантона ионов

$$S_i = \frac{-q_w^i}{mn_{s0} U_{s0} c_p t_{s0}^*} = b_1^i \frac{\lambda_{iw}}{\lambda_{is0}} \frac{T_s}{T_w} \frac{t_{is}^{*\circ}}{t_{s0}^*} \frac{1}{\Delta^\circ R_i P_i}$$

Число Стантона электронов, обусловленное теплопроводностью и конвекцией

$$S_e = \frac{-q_w^e}{mn_{s0} U_{s0} c_p t_{s0}^*} = b_1^e \frac{\lambda_{ew}}{\lambda_{es0}} \frac{T_s}{T_w} \frac{t_{es}^\circ}{t_{s0}^*} \frac{1}{\Delta^\circ R_e P_e}$$

Число Стантона для переноса энталпии электрическим током

$$S_j = \frac{5}{2} \frac{k T_{ew} j_{yw} q}{en_{s0} U_{s0} c_p t_{s0}^*} = \frac{5}{2} \frac{\kappa - 1}{\kappa} \frac{T_{ew}}{t_{s0}^*} \frac{j_y q}{i_y} \frac{M^j}{M}$$

В качестве примера был произведен расчет пограничного слоя двухтемпературной плазмы аргона на положительном электроде ускорительного канала при следующих условиях:

характерный размер (ширина канала) $L = 0.2$ м, скорость на входе $U_{s0} = 5000$ м/сек, давление $p = 10^{-2}$ мм рт. ст., температура ионов $T_{is0} = 2000^\circ$ К, температура электронов $T_{es0} = 10000^\circ$ К, $T_{ew} = 1500^\circ$ К, $T_{iw} = 300^\circ$ К индукция магнитного поля $B = 0.5$ тл. Этим величинам соответствуют

$$n_{s0} = 7.794 \cdot 10^{18} \text{ м}^{-3}, \quad \tau_{es0} = 4.99 \cdot 10^{-9} \text{ сек}, \quad \tau_{is0} = 2.2 \cdot 10^{-7} \text{ сек}$$

$$n_w = 5.196 \cdot 10^{19} \text{ м}^{-3}, \quad \tau_{ew} = 9.34 \cdot 10^{-11} \text{ сек}, \quad \tau_{iw} = 6.23 \cdot 10^{-9} \text{ сек}$$

Было задано значение

$$S_m = \frac{i_{ys} BL}{mn_{s0} U_{s0}^2} = 50$$

чему соответствует плотность разрядного тока $i_y = 6459 \cdot 3a / m^2$ и напряженность электрического поля $E_x = j_y / \sigma_{00} = 2590$ в/м.

Указанным величинам соответствуют следующие значения критериев:

$$K = \frac{E_{xs}}{BU_{s0}} = 1.036, \quad M^j = \frac{i_y}{en_{s0} \sqrt{\kappa (k/m) T_{s0}}} = 2.538$$

$$\Phi = \frac{e E_{xs} L}{k T_{s0}} = 500, \quad H_{es0} = 438, \quad H_{is0} = 0.265$$

$$R_i = 1.565 \cdot 10^4, \quad R_e = 3.6 \cdot 10^{10}, \quad P_i = 0.619, \quad P_e = 1.925 \cdot 10^{-5}$$

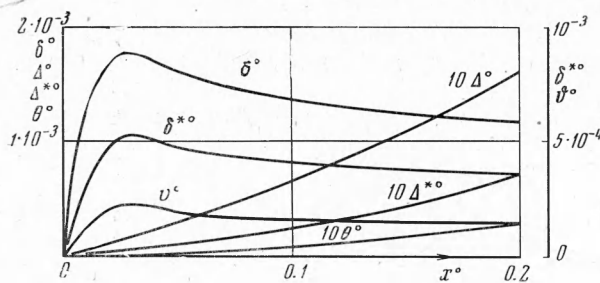
Был выбран случай простейшего внешнего потока, а именно изотермического течения плазмы с отрывом электронной температуры

$$T_s = T_{s0} = \text{const}, \quad T_{is} = T_{is0} = \text{const}, \quad T_{es} = T_{es0} = \text{const}$$

с постоянным давлением, равномерно распределенным разрядным и за-прещенным осевым током

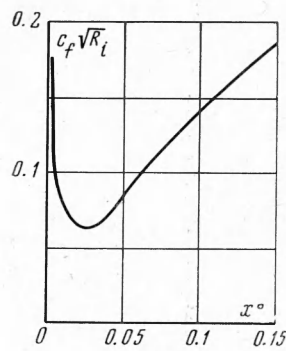
$$J_{ys} = j_{ys0} = \text{const}, \quad J_{xs} = 0$$

При этом из уравнения движения (2) получаем $U_s^\circ = \sqrt{1 + 2S_m x^\circ}$.

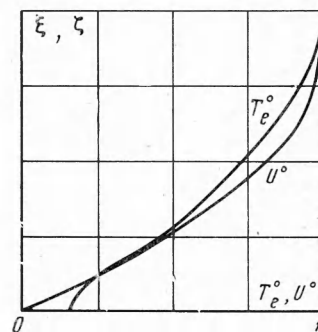


Фиг. 1

На фиг. 1 представлено распределение динамических толщин δ , δ^* , v по длине электрода, а также распределение Δ , Δ^* и θ .



Фиг. 2



Фиг. 3

Величины $C_f \sqrt{R_i}$ изображены на фиг. 2. Профили скоростей $u^\circ = u / U_s$ и профили температур $T_e^\circ = T_e / T_{es}$ показаны на фиг. 3.

Поступила [5 III 1969]

ЛИТЕРАТУРА

- Карман Т. Über laminare und turbulente Reibung. ZAMM, 1921, Bd 1, N. 4, S. 233.
- Калихман Л. Е. Газодинамическая теория теплопередачи. ПММ, 1946, т. 10, вып. 4.
- Калихман Л. Е. Пограничный слой двухтемпературной плазмы на электродах магнитогидродинамического канала со скрещенными E , B -полями при больших значениях параметра Холла. ПМТФ, 1969, № 3.